



# Brevet d'invention

Code de la propriété intellectuelle - Livre VI

## DÉCISION DE DÉLIVRANCE

Le Directeur général de l'Institut national de la propriété industrielle décide que le brevet d'invention n° **13 55645** dont le texte est ci-annexé est délivré à :  
**CENTRE NATIONAL D'ETUDES SPATIALES Etablissement public**

La délivrance produit ses effets pour une période de vingt ans à compter de la date de dépôt de la demande, sous réserve du paiement des redevances annuelles.

Mention de la délivrance est faite au Bulletin officiel de la propriété industrielle n° 17/07 du 17.02.17 (n° de publication 3 007 232).

Fait à Courbevoie, le 17.02.17

Le Directeur général de l'Institut national  
de la propriété industrielle

A handwritten signature in black ink, appearing to read 'R. Soubeyran', is written over a light background.

Romain SOUBEYRAN

① N° de publication :

3 007 232

(à n'utiliser que pour les  
commandes de reproduction)

② N° d'enregistrement national :

13 55645

⑤ Int Cl<sup>8</sup> : H 04 L 1/00 (2017.01)

BREVET D'INVENTION

B1

④ PROCÉDE DE DETECTION ET/OU DE CORRECTION AUTOMATIQUE D'ERREURS DANS  
UN FLUX DE DONNÉES MULTIPLEXÉES.

⑧ Date de dépôt : 17.06.13.

⑨ Priorité :

⑬ Date de mise à la disposition du public  
de la demande : 19.12.14 Bulletin 14/51.

⑭ Date de la mise à disposition du public du  
brevet d'invention : 17.02.17 Bulletin 17/07.

⑮ Liste des documents cités dans le rapport de  
recherche :

*Se reporter à la fin du présent fascicule*

⑥ Références à d'autres documents nationaux  
apparentés :

○ Demande(s) d'extension :

⑦ Demandeur(s) : CENTRE NATIONAL D'ETUDES  
SPATIALES Etablissement public — FR.

⑦ Inventeur(s) : TOURNERET JEAN YVES, WENDT  
HERWIG et DOBIGEON NICOLAS.

⑦ Titulaire(s) : CENTRE NATIONAL D'ETUDES  
SPATIALES Etablissement public.

⑦ Mandataire(s) : OFFICE ERNEST T. FREYLINGER  
S.A..



### **Domaine de l'invention**

[0001] La présente invention porte de manière générale sur la détection et/ou la correction automatique d'erreurs dans un flux de données multiplexées, c'est-à-dire une séquence d'échantillons de données appartenant à une pluralité de canaux entrelacés.

### **Problème technique**

[0002] Dans un flux de données contenant des échantillons de données appartenant à des canaux entrelacés de manière cyclique, tout échantillon de données supplémentaire qui peut être introduit dans le flux de données perturbe la périodicité de l'entrelacement.

[0003] Dans la suite, le nombre de canaux entrelacés sera appelé  $N_c$ . Une séquence de  $N_c$  échantillons de données dans le flux de données sera appelée une trame. Dans l'idéal, chaque canal se voit ainsi attribuer le même intervalle à l'intérieur de chaque trame, faisant du démultiplexage ou du désentrelacement une tâche relativement aisée. Des échantillons de données supplémentaires, quelle que soit leur source, résultent non seulement en valeurs aberrantes (appelées "glitches") dans le flux de données mais également en permutations cycliques des canaux en aval des échantillons de données supplémentaires, c'est-à-dire une discordance ou un décalage des échantillons de données qui suivent les échantillons de données supplémentaires par rapport aux intervalles dans lesquels ils devraient en fait se trouver.

[0004] Un objet de la présente invention est de fournir un procédé de détection automatique ou de détection et de correction (suppression) de tels échantillons de données supplémentaires.

### **25 Description générale de l'invention**

[0005] Un procédé de détection et/ou de correction automatique d'erreurs dans un flux de données multiplexées est proposé. Le procédé comprend l'obtention (par exemple par l'intermédiaire d'un canal de communication physique ou à partir d'une mémoire) d'un flux de données multiplexées contenant des échantillons de données, le flux de données comprenant une

pluralité de canaux de données entrelacés organisés de manière cyclique en trames, chaque canal de données possédant un intervalle attribué à l'intérieur de chaque trame, dans lequel intervalle se trouve un échantillon de données appartenant vraisemblablement au canal. Les échantillons de données transportés par le flux de données comprennent des échantillons de données ordinaires (chacun d'eux pouvant être attribué à l'un des canaux entrelacés) et des échantillons de données supplémentaires (glitches qui ne peuvent pas être attribués à l'un quelconque des canaux entrelacés), ce qui provoque un décalage des échantillons de données ordinaires subséquents par rapport aux intervalles. Selon la présente invention, les échantillons de données supplémentaires sont identifiés par l'exécution d'un algorithme de Viterbi. En tant qu'états (dits "cachés"), associés à chaque échantillon de données, l'algorithme de Viterbi utilise les décalages possibles (c'est-à-dire un décalage d'un intervalle, deux intervalles, etc.) provoqués par des échantillons de données supplémentaires reçus jusqu'à l'échantillon de données associé. Des transitions autorisées entre états comprennent une première transition (c'est-à-dire une transition d'un premier type), représentant une réception d'un échantillon de données ordinaire et, par conséquent, une constance de décalage, et une deuxième transition (c'est-à-dire une transition d'un deuxième type), représentant une réception d'un échantillon de données supplémentaire et, par conséquent, un accroissement de décalage d'une unité (un intervalle).

[0006] Comme on pourra l'observer, le procédé de détection et/ou de suppression de glitches exploite précisément la nature séquentielle du mécanisme de corruption (permutation cyclique des canaux de données à l'intérieur des trames, c'est-à-dire discordance entre les canaux de données et leurs intervalles attribués respectivement du fait de la présence de glitches) afin de récupérer les échantillons de données ordinaires qui sont effectivement présents dans le flux de données corrompu et restaurer l'ordre de canaux correct. Des modes de réalisation des procédés se sont avérés très efficaces dans des expériences de simulation, dans lesquelles des flux de données initiaux étaient artificiellement corrompus : 99,1% à 99,9% des données corrigées correspondaient précisément aux données initiales non corrompues.

Un avantage intéressant du procédé est qu'il n'exige aucune interpolation ou extrapolation de données et par conséquent qu'il ne modifie pas le contenu informatif du flux de données. Cet aspect peut être particulièrement utile dans la correction de mesures scientifiques.

- 5 [0007] De préférence, le procédé comprend une étape dans laquelle un flux de données multiplexées corrigé, qui diffère du flux de données multiplexées en ce qu'il ne contient pas les échantillons de données supplémentaires identifiés, est produit (et, par exemple, affiché et/ou conservé en mémoire dans une mémoire informatique).
- 10 [0008] Il est inhérent à l'algorithme de Viterbi que chaque transition autorisée possède un poids (ou longueur ou coût) associé à celle-ci. Selon un mode de réalisation préféré du procédé selon la présente invention, le poids associé à une première transition (correspondant à l'hypothèse : "échantillon de données ordinaire reçu") d'un premier état vers un deuxième état est défini de
- 15 façon à dépendre de la différence entre l'échantillon de données associé au deuxième état et un échantillon de données prédécesseur direct présumé dans le même canal de données que l'échantillon de données associé au deuxième état. De plus, le poids associé à une deuxième transition (correspondant à l'hypothèse "échantillon de données supplémentaire reçu") d'un premier état
- 20 vers un deuxième état dépend de la différence entre un ou plusieurs des échantillons de données subséquents à l'échantillon de données associé au deuxième état et un échantillon de données prédécesseur direct présumé dans le même canal de données que les un ou plusieurs échantillons de données
- 25 subséquents. Plus la différence est élevée, plus fort sera également le poids de la transition correspondante. Ce mode de réalisation du procédé exploite ainsi le fait que les dérivées locales de données provenant du même canal de données sont faibles, tandis que des dérivées inter-locales de données entre deux canaux de données distincts sont comparativement élevées. En conséquence, en l'absence de glitch, une transition du premier type obtiendra
- 30 un poids faible tandis qu'une transition du deuxième type obtiendra un poids plus fort. De manière similaire, en présence d'un glitch, une transition du

premier type obtiendra un poids fort tandis qu'une transition du deuxième type obtiendra un poids plus faible.

5 [0009] L'exécution de l'algorithme de Viterbi comprend la construction d'une pluralité de chemins au travers des états, chaque chemin de la pluralité de chemins correspondant à une séquence spécifique de transitions des premier et deuxième types, chaque chemin de la pluralité de chemins possédant associé à celui-ci un poids cumulé (ou longueur ou coût) correspondant à la somme des poids associés aux première et deuxième transitions constituant le chemin, et la recherche d'un chemin de poids minimal parmi la pluralité de chemins. Puisque l'on est intéressé par la recherche du chemin possédant le poids cumulé le plus faible, à chaque croisement de deux chemins, le chemin avec le poids cumulé le plus fort est rejeté. Chaque chemin de la pluralité de chemins possède de préférence associé à celui-ci une séquence d'échantillons de données présumés ordinaires. Le flux corrigé de données multiplexées correspond alors à la séquence d'échantillons de données associée au chemin de poids minimal trouvé.

15 [0010] Selon un mode de réalisation préféré du procédé selon l'invention, avant l'exécution de l'algorithme de Viterbi, des trames susceptibles de contenir au moins un échantillon de données supplémentaire sont identifiées. Les poids associés aux première et deuxième transitions d'un premier état vers un deuxième état peuvent dans ce cas être modifiés (re-pondérés) selon que l'échantillon de données associé au deuxième état appartient à une trame identifiée comme étant susceptible de contenir au moins un échantillon de données supplémentaire.

25 [0011] Un aspect préféré de la présente invention porte sur un programme informatique comprenant des instructions pouvant être mises en œuvre par un processeur, qui, lorsqu'elles sont exécutées par un processeur, amènent le processeur à exécuter un procédé tel que celui décrit ici. Un autre aspect préféré de la présente invention concerne un dispositif informatique comprenant un processeur et une mémoire de préférence non volatile contenant en mémoire des instructions pouvant être mises en œuvre par un processeur, qui,

30

lorsqu'elles sont exécutées par le processeur, amènent le processeur à exécuter un procédé tel que celui décrit ici.

### **Description succincte des schémas**

[0012] Des modes de réalisation préférés de la présente invention sont décrits ci-après, à titre d'exemple, en faisant référence aux schémas annexés dans lesquels :

La Figure 1 est une illustration schématique d'un flux de données multiplexées contenant un échantillon de données supplémentaire qui amène des échantillons subséquents à être décalés par rapport à leurs intervalles attribués,

10 Les Figures 2 à 4 sont des illustrations schématiques de la construction d'un treillis au moyen de l'algorithme de Viterbi dans un procédé selon un mode de réalisation préféré de la présente invention,

La Figure 5 illustre la performance du procédé selon la présente invention.

### **Description de modes de réalisation préférés**

#### **15 1. Introduction à MADRAS**

[0013] Dans la suite, des modes de réalisation préférés de la présente invention seront illustrés par l'exemple de la détection et de la correction de glitches dans des données provenant de MADRAS, qui est un imageur hyperfréquence embarqué sur le satellite MEGHA-TROPIQUES. Il convient de noter, cependant, que le procédé selon la présente invention peut faire l'objet

20 d'autres applications.

[0014] Les données scientifiques acquises par MADRAS se composent de plusieurs centaines d'acquisitions (ou balayages) enregistrés dans  $N_c = 11$  canaux. Un ensemble de balayages contigus compose une image multicanal.

25 Un balayage donné de 11 canaux résulte du réordonnement d'un flux de données unique. Chaque cycle de  $N_c$  échantillons de données correspond à un pixel de l'image et est appelé une trame. Le flux de données contient ainsi une séquence cyclique de  $11 \cdot N_F$  mesures qui sont séquentiellement et périodiquement attribuées aux 11 canaux, où  $N_F$  est le nombre de trames. Du

fait d'un dysfonctionnement dans la chaîne de communication entre deux dispositifs électroniques, ce flux de données est corrompu.

[0015] Le mécanisme de corruption le plus fréquent est tel que des échantillons de données additionnels (glitches) sont concaténés aux mesures du fait de l'occurrence de signaux à impulsion parasites (dans le contexte de MADRAS, cette anomalie est appelée "anomalie de type 1"). En conséquence, les données collectées contiennent la plus large part des mesures scientifiques, mais les insertions de données multiples et aléatoires résultent en

- la présence d'échantillons de données supplémentaires (les glitches) dans le flux de données,
- des permutations cycliques des canaux après recombinaison du flux de données du fait de ces données supplémentaires.

[0016] Une vue schématique du phénomène est illustré à la Figure 1, où, à des fins de concision, seulement quatre canaux ont été considérés (c'est-à-dire  $N_c = 4$  à la Figure 1) et le flux de données est divisé en trois trames successives. Chaque canal de données possède son intervalle attribué à l'intérieur de chaque trame. À la Figure 1, les nombres 1 à 4 désignent les échantillons de données appartenant aux différents canaux de données. Lorsqu'un glitch (appelé G) apparaît dans l'intervalle temporel réservé pour le canal 3, cet intervalle reçoit alors une valeur aberrante (qui ne peut pas être attribuée à l'un quelconque des canaux de données), l'intervalle subséquent réservé pour le canal 2 reçoit l'échantillon de données appartenant au canal 3, l'intervalle réservé suivant pour le canal 1 reçoit l'échantillon de données appartenant au canal 2, et le décalage (discordance entre canaux et intervalles) est propagé vers la trame suivante.

[0017] L'algorithme décrit ci-dessous est conçu de façon à détecter et supprimer ces glitches pour chaque balayage individuellement. Une fois que tous les glitches ont été supprimés d'un balayage, les données contiennent uniquement les mesures qui sont récupérables, chaque échantillon de données étant situé dans son intervalle dédié sur l'ensemble des trames. Les données corrigées sont en conséquence scientifiquement exploitables.



[0018] Un deuxième mécanisme de corruption fréquent (dit "anomalie de type 3") est caractérisé par l'observation de valeurs erratiques au cours de plusieurs trames au début du balayage suivies par une valeur unique constante dans tous les canaux pour le reste du balayage. Si une anomalie de type 3 est détectée, la totalité du balayage doit être rejetée. Les anomalies de type 3 et autres types moins fréquents d'anomalies, ne seront plus abordés dans le présent document.

[0019] Selon la présente invention, l'algorithme de Viterbi est utilisé pour la détection et la suppression de glitches dans le signal multicanal. L'algorithme de Viterbi est utilisé pour trouver le chemin avec un poids cumulé minimal au travers d'un treillis approprié. Pour l'application de l'algorithme de Viterbi, un treillis et les distances (poids) associées à toutes les branches de ce treillis sont définis. Un treillis est un graphe orienté dont les nœuds sont organisés en tranches verticales (au niveau du même incrément temporel discret) et chaque nœud est raccordé à au moins un nœud au niveau de l'incrément temporel précédent et au moins un nœud au niveau de l'incrément temporel suivant. Étant donnée une fonction de coût spécifique, la solution donnée par l'algorithme est le chemin optimal au travers du treillis, c'est-à-dire le chemin qui possède le coût le plus faible parmi l'ensemble de tous les chemins possibles au travers du treillis du premier instant au dernier instant. Dans l'application proposée, le chemin solution indique les emplacements de glitches, permettant ainsi leur correction.

## **2. Détection et correction d'anomalies de Type 1**

[0020] Comme indiqué ci-dessus, étant donné une fonction de coût spécifique, la solution donnée par l'algorithme de Viterbi est optimale dans le sens où le chemin solution possède le coût le plus faible parmi tous les chemins possibles au travers du treillis à partir d'un instant de départ (instant 0) à un instant terminal. L'application de l'algorithme de Viterbi à un problème spécifique exige par conséquent la conception d'un treillis et la spécification d'une métrique appropriée pour ses branches. Une mise en œuvre possible de l'algorithme de Viterbi de détection et de suppression de glitches est donnée ci-

après. D'autres détails supplémentaires peuvent être trouvés dans les pseudocodes informatiques à la fin de cette description. Dans la suite,  $x(n)$  désignera l'échantillon de données reçu à l'instant discret  $n$ .  $x(n)$  peut être un échantillon de données ordinaire ou un échantillon de données supplémentaire (glitch). L'ensemble de tous les échantillons reçus séquentiellement  $x(n)$  (mesures et glitches) représente le flux de données.

### 2.1. Conception du treillis

[0021] En tant qu'états de l'algorithme de Viterbi, on utilise les décalages possibles (c'est-à-dire un décalage d'un intervalle, deux intervalles, etc.) provoqués par des échantillons de données supplémentaires reçus jusqu'à l'échantillon de données associé. Le treillis contient  $N_s$  ( $\geq N_c$ ) nœuds par instant  $n$  (c'est-à-dire arrivée d'un échantillon) qui sont désignés par  $c_{k;n}$ , avec  $k = 0, \dots, N_s - 1$  à des fins de commodité. Le nœud  $c_{k;n}$  correspond à la valeur d'état dans laquelle  $k$  (modulo  $N_s - 1$ ) glitches ont été détectés et supprimés le long du chemin l'atteignant (c'est-à-dire à partir des  $n$  échantillons reçus jusque là).

[0022] Chaque nœud  $c_{k;n}$  est raccordé aux nœuds  $c_{k-1;n-1}$  et  $c_{k;n-1}$ , associés à l'instant précédent, et aux nœuds  $c_{k;n+1}$  et  $c_{k+1;n+1}$ , associés à l'instant suivant. Le treillis est "circulaire" dans le sens où le nœud  $c_{0;n}$  est raccordé au nœud  $c_{N_s-1;n-1}$ , et le nœud  $c_{N_s-1;n}$  est raccordé au nœud  $c_{0;n+1}$ . Les sommets raccordant les nœuds sont appelés branches. La branche raccordant les nœuds  $c_{k;n}$  et  $c_{k;n-1}$  est désignée par  $v^0_{k;n}$ , et la branche raccordant les nœuds  $c_{k;n}$  et  $c_{k-1;n-1}$  est désignée par  $v^1_{k;n}$ . Notez que la branche  $v^1_{k;n}$  correspond à l'hypothèse " $x(n)$  est un glitch" pour l'état  $k$ , tandis que la branche  $v^0_{k;n}$  correspond à l'hypothèse " $x(n)$  n'est pas un glitch" pour l'état  $k$ .

### 2.2. Algorithme de Viterbi

[0023] Chaque branche  $v^0_{k;n}$  et  $v^1_{k;n}$  possède un poids  $d_0(k; n)$  et un poids  $d_1(k; n)$  qui lui sont attribués. Une définition possible des poids  $d_0(k; n)$  et  $d_1(k; n)$  est décrite dans la sous-section qui suit. En résumé, l'algorithme de Viterbi supprime à chaque instant  $n$  toutes sauf une des branches atteignant le même état  $c_{n;k}$ , de sorte que chaque état  $c_{n;k}$  peut être atteint par uniquement un chemin unique au travers du treillis.

[0024] À l'instant  $n-1$ , à chaque nœud a été attribué le poids cumulé  $D(k; n-1)$  des branches du chemin unique l'atteignant.  $[\hat{x}]_{k;n-1}$  désigne la séquence d'échantillons vraisemblablement valides rencontrés sur le chemin unique atteignant le nœud  $c_{k;n-1}$ . Dans la suite, nous utiliserons la notation :  $[\hat{x}]_{k;n-1} =$   
 5  $[\hat{x}_k(1), \hat{x}_k(2), \dots, \hat{x}_k(n_k)]$ , où  $n_k$  désigne le nombre d'échantillons vraisemblablement valides reçus sur le chemin atteignant le nœud  $c_{k;n-1}$ . Notez que  $n_k = n-k$  puisque  $k$  glitches ont été détectés à l'état  $k$ .

[0025] Si au nœud  $c_{k;n}$ , la somme de  $D(k;n-1)$  et de  $d_0(k; n)$  est inférieure à la somme de  $D(k-1; n-1)$  et de  $d_1(k; n)$ , c'est-à-dire si l'hypothèse "x(n) n'est pas  
 10 un glitch" conduit à un poids cumulé plus petit  $D(k; n)$  que l'hypothèse "x(n) est un glitch":

- o La branche  $v^1_{k;n}$  est supprimée du treillis et la branche  $v^0_{k;n}$  est conservée.
- o L'échantillon  $x(n)$  est accepté en tant que mesure valide (échantillon de données ordinaire) par l'état  $c_{k;n}$ . La séquence de tous les échantillons qui  
 15 ont été acceptés le long du chemin unique atteignant le nœud  $c_{k;n}$  est ainsi obtenue par  $[\hat{x}]_{k;n} = [[\hat{x}]_{k;n-1}, x(n)]$ , où  $[\dots]$  est l'opérateur de concaténation.

[0026] Dans le cas contraire, si au nœud  $c_{k;n}$ , la somme de  $D(k; n-1)$  et de  $d_0(k; n)$  est supérieure à la somme de  $D(k-1; n-1)$  et de  $d_1(k; n)$ , c'est-à-dire si  
 20 l'hypothèse "x(n) n'est pas un glitch" conduit à un poids cumulé plus fort  $D(k; n)$  que l'hypothèse "x(n) est un glitch":

- o La branche  $v^0_{k;n}$  est supprimée du treillis et la branche  $v^1_{k;n}$  est conservée.
- o L'échantillon  $x(n)$  n'est pas accepté en tant que mesure valide (échantillon de données ordinaire) par l'état  $c_{k;n}$ .
- o La séquence résultante de mesures valides  $[\hat{x}]_{k;n}$  sur le chemin atteignant  
 25 le nœud  $c_{k;n}$  est ainsi la même que la séquence de mesures valides atteignant le nœud  $c_{k-1;n-1}$ .  $[\hat{x}]_{k;n} = [\hat{x}]_{k-1;n-1}$ .

[0027] Après réception du dernier échantillon de données  $x(N)$ , le chemin au travers du treillis avec le poids cumulé le plus faible  $D(k; N)$  est choisi.

Désigné par  $\bar{k} = \arg \min_{k=0, \dots, N_s-1} (D(k; N))$ , le flux de données corrigé est donnée par la séquence  $[\hat{x}]_{\bar{k}, N}$ .

### 2.3. Métrique de branche

[0028] La métrique attribuée aux branches de treillis est basée sur des dérivées locales d'un échantillon de données  $x(n)$  avec des échantillons de données reçus passés et futurs.

- 1) Le poids attribuée à la branche  $v_{k,n}^0$  raccordant les nœuds  $c_{k,n}$  et  $c_{k,n-1}$  est donné par la racine carrée de la valeur absolue de la différence entre  $x(n)$  et le dernier échantillon de données valide qui est supposé appartenir au même canal de données que  $x(n)$  que l'état  $c_{k,n}$  a reçu, à savoir  $\hat{x}_{k(n_k - N_c + 1)}$ . En conséquence :

$$d_0(k, n) = \sqrt{|x(n) - \hat{x}_k(n_k - N_c + 1)|} \quad (\text{Equation. 1})$$

- 2) Le poids  $d_1(k; n)$  attribué aux branches  $v_{k,n}^1$  raccordant les nœuds  $c_{k,n}$  et  $c_{k-1,n-1}$ ,  $k = 0, \dots, N_s-1$  est construit sous la forme d'une moyenne d'un sous-ensemble des différences entre les derniers échantillons de données valides  $\hat{x}_k(n_k - N_c + 1)$  sur les chemins qui atteignent les états  $c_{k,n}$ ,  $k = 0, \dots, N_s-1$ , et un nombre  $N_{\text{future}}$  d'échantillons futurs  $x(n+1)$ ,  $x(n+2)$ , ...,  $x(n+N_{\text{future}})$ . Le sous-ensemble de différences est donné par les  $N_{\text{future}}/2$  différences les plus petites associées à chaque état. Dans le cas de MADRAS, le choix  $N_{\text{future}} = 10$  s'est avéré être avantageux.

$$d_1(k, n) = \frac{WD_1}{N_s} \sum_{k=0}^{N_s-1} h(k, n), \quad \text{where} \quad (\text{Equation. 2})$$

$$h(k, n) = \frac{2}{N_{\text{future}}} \sum_{i=1}^{N_{\text{future}}/2} \delta_{k,n}(i), \quad \text{with} \quad (\text{Equation. 3})$$

$$[\delta_{k,n}(i) | i = 1, \dots, N_{\text{future}}] = \text{sort} \left\{ \sqrt{|x(n+j) - \hat{x}_k(n_k - N_c + 1)|} | j = 1, \dots, N_{\text{future}} \right\} \quad (\text{Equation. 4})$$

Le coefficient  $WD_1$  est un facteur de normalisation. Dans cet exemple :  $WD_1 = \sqrt{\pi}$ . Il convient de noter que les poids  $d_1(k, n)$  ne dépendent pas de  $k$ , c'est-à-dire qu'ils sont identiques pour toutes les branches  $v^1$ .

[0029] Ce choix des poids peut être motivé en fonction de l'observation que les données dans chaque canal de données, considéré individuellement, présentent un comportement correct dans le sens où leur dérivée locale demeure à l'intérieur de certaines limites (qui dépendent du type de données).  
5 Le poids  $d_0(k,n)$  correspond fondamentalement à la dérivée locale au niveau de l'échantillon  $x(n)$  si cet échantillon et le précédent ne sont pas des glitches. En conséquence,  $d_0(k,n)$  sera faible dans le sens où il ne sera pas supérieur à une variation normale dans un canal de données donné en l'absence de glitch. Les branches  $v^1$  sont pondérées selon l'hypothèse que  $x(n)$  est un glitch. Si cette  
10 hypothèse est correcte, les données après  $x(n)$  sont décalées vers une position à l'intérieur de la trame par rapport à des données avant  $x(n)$ . Avec la correction pour le décalage appliquée, on peut s'attendre à nouveau que les canaux de données présentent un comportement correct dans le sens ci-dessus. Le calcul de  $d_1(k,n)$  est basé sur le calcul de quantités  $\delta_{k,n}(i)$  correspondant aux dérivées  
15 locales pour un certain nombre de canaux de données (Équation 4), où il est supposé que  $x(n)$  lui-même doit être rejeté comme étant un glitch. Les quantités  $\delta_{k,n}(i)$  sont triées dans un ordre ascendant et uniquement la moitié inférieure de celles-ci est utilisée pour calculer la quantité  $h(k,n)$  (Équation 3), qui représente une quantité qui peut être considérée comme une dérivée locale moyenne (où  
20 la moyenne est prise sur les canaux de données présentant le comportement le plus correct uniquement). Le fait de prendre la moyenne uniquement sur les quantités les plus faibles  $\delta_{k,n}(i)$  réduit le risque que la quantité  $h(k,n)$  soit dénaturée du fait d'une variation naturelle importante dans un canal de données ou du fait d'un glitch se produisant peu de temps après  $x(n)$  dans le flux de  
25 données.  $d_1(k,n)$  est finalement obtenu (Équation 2) par le calcul de la moyenne des quantités  $h(k,n)$ ,  $k = 0, \dots, N_s-1$ , sur les états possibles (les différentes hypothèses pour le nombre de glitches qui se sont produits à ce stade).

[0030] Les algorithmes de pseudocode 1 et 2 à la fin de la description mettent en œuvre l'algorithme de Viterbi décrit dans les sections 2.1. à 2.3.

30 [0031] Les Figures 2 à 4 illustrent comment fonctionne l'algorithme de Viterbi ci-dessus sur un flux de données avec quatre intervalles par trame. À des fins d'illustration, la métrique de branche est simplifiée par rapport à

l'exemple ci-dessus. Les poids des branches sont indiqués dans le tableau ci-après :

| branches  | pas de glitch                                     | glitch |
|---|---|--------|
| $i \text{ glitch} \rightarrow i \text{ glitch}$                   | 0 (dans l'état correct)<br>2 (dans l'état erroné) | 3      |
| $i \text{ glitch} \rightarrow (i+1)_{\text{mod}5} \text{ glitch}$ | 3   | 1      |

5 [0032] Les branches  $v^1_{k,n}$  (correspondant à l'hypothèse "x(n) est un glitch") reçoivent

- o le poids 1 si l'échantillon x(n) est effectivement un glitch et
- o le poids 3 si l'échantillon x(n) est en réalité un échantillon de données ordinaire.

10 Les branches  $v^0_{k,n}$  (correspondant à l'hypothèse "x(n) n'est pas un glitch") reçoivent

- o le poids 0 si l'échantillon x(n) est un échantillon de données ordinaire et l'état correspondant est l'état correct,
- o le poids 2 si l'échantillon x(n) est un échantillon de données ordinaire mais l'état correspondant est erroné, et
- o le poids 3 si l'échantillon x(n) est en réalité un glitch.

Il convient de noter que la métrique utilisée ici est artificielle parce que dans une situation de la vie réelle, on n'aurait pas de connaissance a priori de la dynamique de chaque canal de données. À l'instant  $n=0$ , une trame entière a été reçue.

[0033] La Figure 2 illustre le treillis après la réception de l'échantillon de données (ordinaire) à l'instant  $n=1$ . Le poids de chaque branche individuelle est indiqué au dessus de la branche respective. Les poids cumulés sont illustrés au-dessus des nœuds du treillis. Le poids de la branche  $v^0_{0,1}$  est déterminé par

la comparaison de l'échantillon de données  $x(n=1)$  à son prédécesseur présumé dans le même canal de données. Puisque le nœud d'extrémité de la branche  $v_{0,1}^0$  est  $c_{0,1}$ , aucun glitch n'est considéré s'être produit à ce stade et l'échantillon de données  $x(n=1)$  est donc comparé à l'échantillon de données  $N_c$  (dans ce cas 4) intervalles de temps vers l'avant, c'est-à-dire avec  $x(n=-3)$ . Puisque  $x(n=1)$  et  $x(n=-3)$  appartiennent en réalité au même canal de données, le poids  $d_0(0,1)$ , calculé au moyen de l'équation 1 ci-dessus sera comparativement faible. Dans le cas illustré, ce fait est reflété par le fait que la branche  $v_{0,1}^0$  reçoit le poids 0, selon le tableau ci-dessus. Le poids de la branche  $v_{1,1}^1$  est déterminé au moyen de l'équation 2 ci-dessus. L'hypothèse est ici que  $x(n=1)$  est un glitch mais, comme  $x(n=1)$  n'est pas un glitch, le poids  $d_1(1,1)$  sera comparativement fort. Dans le cas illustré, ce fait est reflété par le fait que la branche  $v_{1,1}^1$  reçoit le poids 3.

[0034] La Figure 3 illustre le treillis après la réception de l'échantillon de données (supplémentaire) à l'instant  $n=2$ . Le poids de la branche  $v_{0,2}^0$  est déterminé par la comparaison de l'échantillon de données  $x(n=2)$  à son prédécesseur présumé dans le même canal de données. Puisque le nœud d'extrémité de la branche  $v_{0,2}^0$  est  $c_{0,2}$ , aucun glitch n'est considéré s'être produit à ce stade et l'échantillon de données  $x(n=2)$  est donc comparé à l'échantillon de données quatre intervalles de temps vers l'avant, c'est-à-dire à  $x(n=-2)$ . Puisque  $x(n=2)$  est en réalité un glitch, le poids  $d_0(0,2)$  sera comparativement fort. Dans le cas illustré, ce fait est reflété par le fait que la branche  $v_{0,2}^0$  reçoit le poids 3. Le poids de toutes les branches  $v_{k,2}^1$  ( $k=0, 1, 2, \dots$ ) est déterminé au moyen de l'équation 2 ci-dessus. L'hypothèse est que  $x(n=2)$  est un glitch et puisque ceci est effectivement le cas, les poids  $d_1(k,2)$  seront comparativement faibles. Dans le cas illustré, les branches  $v_{1,2}^1$  et  $v_{2,2}^1$  reçoivent le poids 1. Le poids de la branche  $v_{1,2}^0$  est déterminé au moyen de l'équation 1, c'est-à-dire par la comparaison de l'échantillon de données  $x(n=2)$  à son prédécesseur présumé dans le même canal de données. Puisque le nœud d'extrémité est  $c_{1,2}$ , un glitch est considéré s'être produit à ce stade, l'échantillon de données  $x(n=2)$  est donc comparé à l'échantillon de données  $N_c+1$  (ici : 5) intervalles de temps vers l'avant, c'est-à-dire à  $x(n=-3)$ . Puisque

$x(n=2)$  est en réalité un glitch, le poids  $d_0(1,2)$  sera comparativement fort (poids 3). Le nœud  $c_{1,2}$  pourrait maintenant être atteint par deux chemins différents. L'algorithme de Viterbi supprime ainsi le chemin avec le poids cumulé le plus fort.

5 [0035] La Figure 4 illustre le treillis après la réception de l'échantillon de données (ordinaire) à l'instant  $n=3$ . Le poids de la branche  $v^0_{0,3}$  est déterminé par la comparaison de l'échantillon de données  $x(n=3)$  à son prédécesseur présumé dans le même canal de données. Puisque le nœud d'extrémité de la  
10 branche  $v^0_{0,3}$  est  $c_{0,3}$ , aucun glitch n'est considéré s'être produit à ce stade et l'échantillon de données  $x(n=3)$  est donc comparé à l'échantillon de données quatre intervalles de temps vers l'avant, c'est-à-dire à  $x(n=-1)$ . Puisqu'un glitch s'est produit entre temps à  $n=2$ , il existe une discordance de canal non prise en compte et le poids  $d_0(0,3)$  sera comparativement fort mais inférieur au poids que l'on obtiendrait par la comparaison d'un glitch à un échantillon de données  
15 ordinaire (poids 2). Le poids de toutes les branches  $v^1_{k,3}$  ( $k=0, 1, 2, \dots$ ) est déterminé au moyen de l'équation 2 ci-dessus. L'hypothèse est que  $x(n=3)$  est un glitch, mais puisque  $x(n=3)$  n'est pas en réalité un glitch, les poids  $d_1(k,3)$  seront comparativement forts. Les branches  $v^1_{1,3}$ ,  $v^1_{2,3}$  et  $v^1_{3,3}$  reçoivent donc le poids 3. Le poids de la branche  $v^0_{1,3}$  est déterminé au moyen de l'équation 1  
20 par la comparaison de l'échantillon de données  $x(n=3)$  à son prédécesseur présumé dans le même canal de données. Puisque le nœud d'extrémité de la branche  $v^0_{1,3}$  est  $c_{1,3}$ , un glitch est considéré s'être produit à ce stade. L'échantillon de données  $x(n=3)$  est donc comparé à l'échantillon de données  $N_c+1$  intervalles de temps vers l'avant, c'est-à-dire à  $x(n=-2)$ . Puisque  $x(n=-2)$  et  
25  $x(n=3)$  appartiennent en réalité au même canal de données, le poids  $d_0(1,3)$  sera comparativement faible (poids 0). Le poids de la branche  $v^0_{2,3}$  est également déterminé au moyen de l'équation 1 par la comparaison de l'échantillon de données  $x(n=3)$  à son prédécesseur présumé dans le même canal de données. Puisque le nœud d'extrémité de la branche  $v^0_{2,3}$  est  $c_{2,3}$ ,  
deux glitches sont considérés s'être produits à ce stade. L'échantillon de données  $x(n=3)$  est donc comparé à l'échantillon de données  $N_c+2$  (ici : 6) intervalles de temps vers l'avant, c'est-à-dire à  $x(n=-3)$ . Puisque  $x(n=-3)$  et



$x(n=3)$  n'appartiennent pas en réalité au même canal de données, le poids  $d_0(2,3)$  sera comparativement fort (poids 2). Chacun des nœuds  $c_{1,3}$  et  $c_{2,3}$  pourrait maintenant être atteint par deux chemins différents. L'algorithme de Viterbi supprime chaque fois le chemin avec le poids cumulé le plus fort.

- 5 [0036] Pendant que le treillis est construit, l'algorithme conserve une trace des séquences  $[\hat{x}]_{k,n}$  de échantillons de données vraisemblablement valides. À l'instant  $n=2$  :

- o  $[\hat{x}]_{0,2} = [x(n=1), x(n=2)]$ ,
- o  $[\hat{x}]_{1,2} = [x(n=1)]$ ,
- 10 o o  $[\hat{x}]_{2,2} = [ ]$  (séquence vide).

A l'instant  $n=3$  :

- o  $[\hat{x}]_{0,3} = [x(n=1), x(n=2), x(n=3)]$ , obtenu en tant que concaténation de  $[[\hat{x}]_{0,2}, x(n=3)]$ ,
- o  $[\hat{x}]_{1,3} = [x(n=1), x(n=3)]$ , obtenu en tant que concaténation de  $[[\hat{x}]_{1,2}, x(n=3)]$ ,
- 15 o  $[\hat{x}]_{2,3} = [x(n=1)]$ , obtenu par la reprise de la séquence du nœud précédent sur le chemin :  $[\hat{x}]_{2,3} = [\hat{x}]_{1,2}$
- o o  $[\hat{x}]_{3,3} = [ ]$  (séquence vide), obtenu par la reprise de la séquence du nœud précédent sur le chemin :  $[\hat{x}]_{3,3} = [\hat{x}]_{2,2}$ .

- 20 [0037] Lorsque le dernier échantillon  $x(N)$  a été reçu, l'algorithme de Viterbi sélectionne le nœud  $c_{k,N}$ ,  $k = 0, 1, \dots, N_s$ , sur lequel le chemin avec le poids cumulé le plus faible arrive. Supposons que  $c_{k_{\min},N}$  soit ce nœud, le flux de données corrigé peut être produit sous la forme  $[\hat{x}]_{k_{\min},N}$ . Par exemple, si  $x(n=3)$  était le dernier échantillon reçu, on trouverait en tant que flux de données
- 25 corrigé la séquence  $[\hat{x}]_{1,3} = [x(n=1), x(n=3)]$ .

### 3. Détection de trames corrompues

[0038] Cette section décrit un algorithme qui permet la détection de trames qui potentiellement contiennent des anomalies de type 1. Similaire à

l'algorithme décrit dans la section précédente 2, il utilise une métrique basée sur des dérivées locales afin de décider si une trame est corrompu ou non. Cependant, la métrique est construite conjointement pour tous les canaux dans une trame, ce qui ajoute de la robustesse contre les fausses alarmes dans des zones du balayage où les  $N_c$  canaux prennent des valeurs qui sont très proches les unes des autres. Il est conçu de façon à travailler trame par trame et peut en conséquence être uniquement utilisé pour détecter si une trame contient un glitch ou non et ne peut pas résoudre le problème de savoir si un échantillon individuel est un glitch ou non.

### 3.1. Métrique et critère de détection

[0039] Soit  $m$  l'indice des trames et désignons par  $x_m^{(i)}$  les échantillons dans cette trame,  $i = 1, \dots, N_c$ . L'algorithme est basé sur la métrique double suivante :

- 1) différences intra-canaux (entre échantillons du même canal de données  $i$ ) :

$$\delta_m(i) = x_{m+1}^{(i)} - x_m^{(i)}$$

$$D_m = \sqrt{\sum_{i=1}^{N_c} |\delta_m(i)|^2}$$

- 2) différences inter-canaux (entre échantillons du canal  $i$  et du canal  $(i+d_i)$  modulo  $N_c$ , où  $d_i = 1, \dots, N_c-1$ ) :

$$\delta_m(i, d_i) = x_{m+2}^{((i+d_i-1) \bmod N_c)} - x_m^{(i)}, \text{ où } [.] = \text{mod } (., N_c)$$

$$T_m(d_i) = \sqrt{\sum_{i=1}^{N_c} |\delta_m(i, d_i)|^2}$$

[0040] Le principe qui sous-tend cette métrique réside dans les observations suivantes :

- o Si la trame  $m$  et la trame  $m + 1$  ne contiennent pas de glitches, alors les différences intra-canaux  $\delta_m(i)$  correspondent aux dérivées locales des mesures qui sont transmises dans le canal  $i$ , et les différences inter-canaux  $\delta_m(i, d_i)$  jusqu'à la différence des mesures transmises dans l'intervalle  $i$  et l'intervalle  $i + d_i$ . La somme des

différences intra-canaux sera faible comparée à la somme des différences inter-canaux.

- o Si la trame m ou la trame m + 1 contient n<sub>g</sub> glitches, alors les différences intra-canaux δ<sub>m</sub> (i) correspondent soit à la différence des mesures transmises dans l'intervalle i et les mesures qui auraient dû être transmises dans l'intervalle j = i + n<sub>g</sub>, ou à la différence des mesures transmises dans le canal i et la valeur du glitch. Dans les deux cas, la somme des différences intra-canaux sera élevée. A l'inverse, les différences inter-canaux δ<sub>m</sub>(i, d<sub>i</sub>) qui satisfont la condition d<sub>i</sub> = n<sub>g</sub> correspondent aux dérivées locales des mesures qui doivent être transmises dans le canal i. Leur somme sera en conséquence faible.

[0041] En conséquence, des glitches dans une trame m\* sont considérés détectés si le critère suivant est satisfait :

$$D_{m^*} > \min_{d_i} T_{m^*}(d_i)$$

Le nombre de glitches dans la trame m\* peut être estimé par :

$$n_g(m^*) > \arg \min_{d_i} T_{m^*}(d_i)$$

### 3.2. Algorithme pour la détection de trames corrompues

[0042] L'algorithme (algorithmes de pseudocode 3 à 5 à la fin de la présente description) boucle au travers des trames m d'un balayage. Si pour la trame m\*, le critère  $D_{m^*} > \min_{d_i} T_{m^*}(d_i)$  est satisfait et que par conséquent des glitches sont détectés :

- 1) La trame m\* est détectée comme étant corrompue et l'indice de la trame est placé en mémoire.
- 2) La trame m\* est supprimée des données. Plus précisément, la trame m\* (qui est présumée contenir au moins un glitch) est rejetée, et la

trame  $m^*+1$  prend sa place, c'est-à-dire, est maintenant à la position  $m^*$  pour la suite de l'algorithme de détection de trames corrompues.

- 3) Les canaux de toutes les trames  $m^* + 1, m^* + 2, \dots$  sont permutés de manière circulaire par  $n_g(m^*)$ . En conséquence,  $x_{m^*-1}^{(i)}$  et  $x_{m^*+1}^{(i)}$  contiennent des mesures provenant du même canal de données et l'ordre des canaux a été rétabli.
- 4) L'algorithme poursuit avec la trame suivante du flux de données.

### 3.3. Algorithme de Viterbi pondéré combiné à la détection de trames corrompues

[0043] Dans cette section, l'algorithme de Viterbi décrit dans la section 2 est généralisé afin de permettre l'utilisation d'informations antérieures sur un échantillon spécifique  $x(n)$ . Cette généralisation est motivée par le fait que, dans de nombreux cas, la plupart des échantillons dans un balayage sont en réalité des mesures valides. Si, par exemple, des séquences d'échantillons sont connues être des mesures valides (ou, au contraire, des glitches), cette information peut être utilisée pour améliorer les performances de l'algorithme de Viterbi.

[0044] Les informations antérieures placent l'algorithme sous la forme d'un facteur  $\gamma(n)$  qui agit en tant que multiplicateur pour les poids  $d_1(k, n)$  donnés par l'équation 2. Au lieu de  $d_1(k, n)$ , on utilise alors  $\tilde{d}_1(k, n)$  qui est défini sous la forme :

$$\tilde{d}_1(k, n) = \gamma(n) \cdot d_1(k, n) . .$$

[0045] En conséquence, le facteur  $\gamma(n)$  influence la décision selon laquelle les branches  $v_{k,n}^0$  ou les branches  $v_{k,n}^1$  doivent être supprimées à l'instant  $n$ .

- o Cas  $\gamma(n) = \infty$

Le choix  $\gamma(n) = \infty$  est fait si l'échantillon  $x(n)$  est connu être une mesure valide (un échantillon de données ordinaire). En fonction de cette information antérieure, l'algorithme de Viterbi est forcé de supprimer les

branches  $v_{1k;n}$  du treillis (pour tous les  $k$ ) et d'accepter l'échantillon  $x(n)$  en tant que mesure valide.

o Cas  $1 < \gamma(n) < \infty$

5 Ce choix est fait si l'échantillon  $x(n)$  est très probablement une mesure valide (un échantillon de données ordinaire). Les branches  $v_{1k;n}$  sont pénalisées par leur accroissement en termes de poids. En conséquence, la probabilité que  $x(n)$  soit accepté en tant qu'échantillon valide est augmentée (en comparaison de l'algorithme qui utilise  $d_1(k, n)$  au lieu de  $\tilde{d}_1(k, n)$ ).

10 o Cas  $\gamma(n) = 0$

Ce choix est fait s'il est connu que l'échantillon  $x(n)$  est un glitch. Le fait que les branches  $v_{1k;n}$  recevront un poids nul amène l'algorithme de Viterbi à supprimer les branches  $v_{0k;n}$  du treillis. L'échantillon  $x(n)$  est détecté comme étant un glitch et n'est pas accepté en tant qu'échantillon valide par aucun état  $c_{k;n}$ , quelle que soit la valeur de  $k$ .

o Cas  $0 < \gamma(n) < 1$

20 Ce choix est fait s'il est très probable que l'échantillon  $x(n)$  soit un glitch. Le poids des branches  $v_{1k;n}$  est diminué comparé à l'algorithme qui utilise  $d_1(k, n)$ . En conséquence, la probabilité que  $x(n)$  soit accepté en tant qu'échantillon valide est diminuée.

[0046] L'algorithme de Viterbi pondéré est détaillé dans les algorithmes de pseudocode 6 et 7 à la fin de la description. Il est couplé ici à un algorithme de détection de trames corrompues, par exemple, l'algorithme détaillé à la section 3.2. (algorithmes de pseudocode 3 à 5) avec  $Mweight = \text{infini} (\infty)$ . L'algorithme de pseudocode 6 attribue en conséquence un poids  $\gamma(n) = 1$  à tous les échantillons dans des trames qui sont détectées comme étant corrompues et le poids  $\gamma(n) = \infty$  à tous les échantillons dans des trames qui ne sont pas détectées comme étant corrompues. The branches  $v_{1k;n}$  sont par conséquent supprimées du treillis des algorithmes de pseudocode 6 et 7 pour tous les

échantillons dans des trames qui ne sont pas détectées comme étant corrompues par les algorithmes de pseudocode de détection de trames corrompues 3 à 5. En conséquence, le coût de traitement de l'algorithme de Viterbi est réduit pour des balayages qui sont uniquement faiblement corrompus. De plus, la probabilité de fausse alarme (c'est-à-dire la détection d'un glitch non existant et la suppression d'une mesure valide) est diminuée, en particulier dans des zones où tous les canaux possèdent une dynamique très similaire.

[0047] La Figure 5 illustre la performance de l'algorithme de détection et suppression de glitches selon les algorithmes de pseudocode 6 et 7 sur un ensemble de données synthétiques. Le graphe 14 illustre les données d'origine. Chaque instant (axe x) correspond à une trame. Les données d'origine ont été artificiellement corrompues par l'insertion de glitches (graphe 16), résultant en une permutation cyclique des canaux de données après chaque glitch. Les données corrompues du graphe 16 ont ensuite été introduites dans le procédé de détection et de suppression de glitches. Le résultat de la correction est illustré sous la forme du graphe 18. Comme on peut le constater, la correction fonctionne bien : les glitches sont effectivement supprimés du flux de données corrigé. Il convient de noter que la correction est uniquement appliquée aux trames 37 à 485, dans lesquelles tous les canaux de l'instrument MADRAS contiennent des mesures.

[0048] Bien que des modes de réalisation spécifiques aient été décrits dans le détail, les personnes du métier pourront observer que diverses modifications et variantes à ces détails pourraient être élaborées à la lumière des conclusions globales de l'invention. En conséquence, les agencements particuliers décrits sont destinés à être uniquement illustratifs et non limitatifs en ce qui concerne la portée de la présente invention à laquelle il convient d'attribuer l'étendue complète des revendications annexées et de tous équivalents de celles-ci.

Algorithme 1 Algorithme de Viterbi Partie 1: Initialisation.

```

Entrée                                     > balayage corrompu - trames 37 à 485
CorruptedScan : matrix [11 x Nf]

Sortie                                     > balayage corrigé - trames 37 à 485
CorrectedScan : matrix [11 x Nf]
cweight:                                     > distance cumulée du chemin du balayage corrigé

%% ----- %%
%% ----- INITIALISATION
Nc ← 11; Ns ← 2Nc
WD1 ← √π
FUTUR ← 10
d0(1 : Ns) ← 0; d1(1 : Ns) ← 0
distances_cum(1 : Ns) ← ∞; distances_cum(1) ← 1
last_index(1 : Ns) ← Ns
for i = 1 → Nc do                             > placer le balayage dans le format vecteur et initialiser les données en sortie
  for j = 1 → Nf do
    data((j - 1) · Nf + i) ← CorruptedScan(i, j)
    CorrectedScan(i, j) ← 0
  end for
end for
sample_received(1 : (Nf · Nc), 1 : Ns) ← 0
for k = 1 → Ns do
  for n = 1 → Nc do
    sample_received(n, k) ← scan(n)
  end for
end for
dd(1 : FUTUR) ← 0; pre_k ← 0; dist0 ← 0; dist1 ← 0; sid ← 0; cweight ← 0
old_sample_received(1 : (Nf · Nc), 1 : Ns) ← 0
old_distances_cum(1 : Ns) ← 0
old_last_index(1 : Ns) ← 0
... suite à l'algorithme 2

```

> CONST: #canaux ; #états de l'algorithme de Viterbi  
 > CONST: multiplicateur de mesure de branche  
 > CONST: #échantillons futurs dans la métrique de branche  
 > distances de branche de treillis  
 > distance cumulée pour chaque état  
 > indice du dernier échantillon valide reçu  
 > Initialiser les vecteurs de chemin d'état  
 > variables de travail et mémoires tampons

---

**Algorithme 2 Algorithme de Viterbi Partie 2: boucle principale**


---

```

... suite de l'algorithme 1
%% ——— PRINCIPAL : BOUCLER SUR LES ÉCHANTILLONS ——— %%
for n = Nc + 1 → Nc · Nf - FUTUR do
  for k = 1 → Ns do
    ▷ calculer la métrique de branche de l'échantillon n pour chaque état k
    d0(k) ← abs(data(n) - sample_received(k, last_index(k) - Nc + 1))2
    dd(1 : FUTUR) ← abs(data(n + 1 : n + FUTUR) - sample_received(k, last_index(k) - Nc + 1))2
    dd ← sort(dd)
    ▷ trier dans l'ordre ascendant
    d1(k) ← 0
    for j = 1 → FUTUR/2 do
      d1(k) = d1(k) + WD1 · dd(j)/FUTUR
    end for
  end for
  old_distances_cum ← distances_cum
  old_last_index ← last_index
  old_sample_received ← sample_received
  for k = 1 → Ns do
    ▷ actualiser les vecteurs d'état
    pre_k ← k - 1
    if k == 0 then
      pre_k ← N
    end if
    dist0 ← old_distances_cum(k) + d0(k)
    dist1 ← old_distances_cum(pre_k) + mean(d1)
    ▷ distance de branche k → k
    ▷ distance de branche k-1 → k
    if dist1 < dist0 then
      ▷ échantillon considéré comme étant un glitch
      distances_cum(k) ← dist1
      sample_received(:, k) ← old_sample_received(:, pre_k)
      last_index(k) ← old_last_index(pre_k)
    else
      ▷ échantillon considéré comme étant valide
      distances_cum(k) ← dist0
      last_index(k) ← last_index(k) + 1
      sample_received(last_index(k), k) ← data(n)
    end if
  end for
end for
end for
%% ——— DECISION ——— %%
sid ← index_of_min(distances_cum)
cweight ← distances_cum(sid)
▷ chemin avec la distance cumulée la plus faible
▷ distance cumulée correspondante
for i = 1 → Nc do
  for j = 1 → Nf do
    CorrectedScan(i, j) ← sample_received((j - 1) · Nf + i, sid)
    ▷ placer le balayage corrigé dans un format matriciel
  end for
end for
SORTIE CorrectedScan; cweight

```

---



---

**Algorithme 3** Algorithme « Prototype » Récursif
 

---

**Entrée**

*CorruptedScan* : *matrix* [ $11 \times N_f$ ]  
*Mweight* : *CONST*

▷ balayage corrompu – trames 37 à 485  
 ▷ poids à attribuer à des échantillons dans des trames non corrompues

**Sortie**

*Fvalid* : *vector* [ $1 \times N_f$ ]  
*Gmetric* : *vector* [ $1 \times 11 \cdot N_f$ ]

▷ balises pour des trames non corrompues  
 ▷ poids pour chaque échantillon dans *CorruptedScan*

---

 %% ——— INITIALISATION

$N_c \leftarrow 11$

$N_G \leftarrow N_c - 1$

$DD \leftarrow 3$

$MITER \leftarrow 30$

$N_r \leftarrow N_f$

for  $n = 1 \rightarrow N_f$  do

$NGindex(n) \leftarrow n$

$Fvalid(n) \leftarrow 1$

  for  $i = 1 \rightarrow N_c$  do

$Gmetric((n-1) \cdot N_f + i) \leftarrow 1$

  end for

end for

———— %%  
 ▷ *CONST*: #canaux ; #états de l'algorithme de Viterbi  
 ▷ *CONST*: ordre maximum de rotation de canaux  
 ▷ *CONST*: voisinage de frame corrompue à baliser  
 ▷ *CONST*: nombre maximal d'itérations

▷ indice de trames supposées non corrompues  
 ▷ balises pour trames non corrompues

▷ poids pour chaque échantillon

---

 %% ——— RÉCURSION : DÉTECTION ET SUPPRESSION DE TRAMES CORROMPUES
 

---

$RUN \leftarrow 1$ ;  $ITER \leftarrow 0$

$data_r \leftarrow CorruptedScan$

while  $RUN=1$  do

$ITER \leftarrow ITER + 1$

$\leftarrow DetectRemove$  (cf. Algorithm 5)

end while

---

 %% ——— BALISER LES TRAMES CORROMPUES ET ATTRIBUER DES POIDS POUR VITERBI
 

---

$\leftarrow Tagweight$  (cf. Algorithm 6)

SORTIE *Fvalid*, *Gmetric*

---

---

**Algorithme 4 Algorithme « Prototype » Récursif. Partie DetectRemove**


---

```

DetectRemove
%% ——— DÉTECTION DE TRAMES CORROMPUES ——— %%
iG ← 1                                     > initialiser les compteurs pour cette récursion
TabG(1) ← 0; PermG(1) ← 0
for n = 1 → Nr - 3 do                       > Boucler sur les trames: Détection
  d0 ← 0                                     > calculer la distance l → i
  for i = 1 → Nc do
    d0 ← d0 + abs(data_r(i, n) - data_r(i, n + 1))ν
  end for
  d0 ← (d0)1/2
  d1(1 : NG) ← 0; dP(1 : NG) ← 0; data_c(1 : Nc) ← data_r(1 : Nc, n)
  for j = 1 → NG do                           > calculer la distance l → l + j
    tmp ← data_c(1); data_c(1 : Nc - 1) ← data_c(2 : Nc); data_c(Nc) ← tmp
    for i = 1 → Nc do
      d1(j) ← d1(j) + abs(data_c(i, n) - data_r(i, n + 2))ν
      dP(j) ← dP(j) + abs(data_c(i, n) - data_r(i, n + 3))ν
    end for
    d1(j) ← (d1(j))1/2; dP(j) ← (dP(j))1/2
  end for
  id1 ← index_of_min(d1); idP ← index_of_min(dP)
  if d0 > d1(id1) AND TabG(iG) < n then       > La frame n + 1 présente un problème
    iG ← iG + 1; TabG(iG) ← n + 1 PermG(iG) ← idP
  end if
end for
iG ← iG - 1;
for i = 1 → iG do
  TabG(iG) ← TabG(iG + 1); PermG(iG) ← PermG(iG + 1)
end for
%% ——— SUPPRIMER LES TRAMES CORROMPUES ——— %%
if iG > 0 then
  for i = 1 → iG do
    old_data_r ← data_r
    data_r(1 : PermG(i), TagG(i) : Nr) ← old_data_r(Nc - PermG(i) + 1 : Nc, TagG(i) : Nr)
    data_r(PermG(i) + 1 : Nc, TagG(i) : Nr) ← old_data_r(1 : Nc - PermG(i), TagG(i) : Nr)
  end for
  old_data_r ← data_r
  old_NGindex ← NGindex
  for i = 1 → iG do                             > supprimer les trames corrompues
    data_r(:, TagG(i) - i + 1 : Nr - i) ← old_data_r(:, TagG(i) + 1 : Nr)
    NGindex(TagG(i) - i + 1 : Nr - i) ← old_NGindex(TagG(i) + 1 : Nr)
  end for
  Nr ← Nr - iG
else
  RUN ← 0                                       > pas de nouveaux glitches trouvés
end if
if ITER ≥ MITER then
  RUN ← 0
end if

```

---

---

**Algorithme 5 Algorithme « Prototype » Récuratif: Partie TagWeight**


---

```

TagWeight
%% ----- BALISER LES TRAMES CORROMPUES ----- %%
for n = 1 → Nf do
  valid ← 0
  for k = 1 → Nr do
    if NGindex(k) == n then
      valid ← 1
    end if
  end for
  if valid == 0 then
    i1 ← max(1, n - DD); i2 ← min(Nf, n + DD - 1)
    Fvalid(i1 : i2) ← 0
  end if
end for
%% ----- ATTRIBUER DES POIDS POUR L'ALGORITHME VITERBI ----- %%
for n = 1 → Nf do
  for i = 1 → Nc do
    if Fvalid(n) == 0 then
      Gmetric((n - 1) · Nf + i) ← 1
    else
      Gmetric((n - 1) · Nf + i) ← Mweight
    end if
  end for
end for

```

> baliser la trame corrompue et ses voisines

> baliser les échantillons valides

---

**Algorithme 6** Algorithme de Viterbi Pondéré Partie 1: Initialisation

— Entrée

*CorruptedScan* : *matrix* [11 ×  $N_f$ ]      ▷ balayage corrompu – trames 37 à 485  
*Gmetric* : *vector* [1 × 11 ·  $N_f$ ]      ▷ poids de la métrique de branche pour chaque échantillon dans *CorruptedScan*

— Sortie

*CorrectedScan* : *matrix* [11 ×  $N_f$ ]      ▷ balayage corrigé – trames 37 à 485  
*cweight* :      ▷ distance cumulée du chemin du balayage corrigé

```

%% —— INITIALISATION —— %%
 $N_c \leftarrow 11$ ;  $N_s \leftarrow 2N_c$       ▷ CONST: #canaux ; #états de l'algorithme de Viterbi
 $WD_1 \leftarrow \sqrt{\pi}$       ▷ CONST: multiplicateur de mesure de branche
 $FUTUR \leftarrow 10$       ▷ CONST: #échantillons futurs dans la métrique de branche

 $d_0(1 : N_s) \leftarrow 0$ ;  $d_1(1 : N_s) \leftarrow 0$       ▷ distances de branche de treillis
 $distances\_cum(1 : N_s) \leftarrow \infty$ ;  $distances\_cum(1) \leftarrow 1$       ▷ distance cumulée pour chaque état
 $last\_index(1 : N_s) \leftarrow N_s$       ▷ indice du dernier échantillon valide reçu

for  $i = 1 \rightarrow N_c$  do      ▷ placer le balayage dans le format vecteur et initialiser les données en sortie
  for  $j = 1 \rightarrow N_f$  do
     $data((j - 1) \cdot N_f + i) \leftarrow CorruptedScan(i, j)$ 
     $CorrectedScan(i, j) \leftarrow 0$ 
  end for
end for

 $sample\_received(1 : (N_f \cdot N_c), 1 : N_s) \leftarrow 0$       ▷ Initialiser les vecteurs de chemin d'état
for  $k = 1 \rightarrow N_s$  do
  for  $n = 1 \rightarrow N_c$  do
     $sample\_received(n, k) \leftarrow scan(n)$ 
  end for
end for

for  $n = 1 \rightarrow N_c \cdot N_f$  do      ▷ rechercher des poids
  if  $Gmetric(n) == \infty$  then
     $Prune(n) \leftarrow 1$ 
  else
     $Prune(n) \leftarrow 0$ 
  end if
end for

 $dd(1 : FUTUR) \leftarrow 0$ ;  $pre\_k \leftarrow 0$ ;  $dist_0 \leftarrow 0$ ;  $dist_1 \leftarrow 0$ ;  $sid \leftarrow 0$ ;  $cweight \leftarrow 0$       ▷ variables de travail et mémoires tampons
 $old\_sample\_received(1 : (N_f \cdot N_c), 1 : N_s) \leftarrow 0$ 
 $old\_distances\_cum(1 : N_s) \leftarrow 0$ 
 $old\_last\_index(1 : N_s) \leftarrow 0$ 
... suite à l'algorithme 7

```

---

**Algorithme 7 Algorithme de Viterbi Pondéré Partie 2: Boucle principale**


---

```

... suite de l'algorithme 6
%% ----- PRINCIPAL: BOUCLER SUR LES ÉCHANTILLONS ----- %%
for n = Nc + 1 → Nc · Nf - FUTUR do
  for k = 1 → Ns do ▷ calculer la métrique de branche de l'échantillon n pour les transitions k → k
    d0(k) ← abs(data(n) - sample_received(k, last_index(k) - Nc + 1))2
  end for
  if Prune == 0 then
    for k = 1 → Ns do ▷ calculer la métrique de branche de l'échantillon n pour les transitions k-1 → k
      dd(1 : FUTUR) ← abs(data(n+1 : n + FUTUR) - sample_received(k, last_index(k) - Nc + 1))2
      dd ← sort(dd) ▷ trier dans l'ordre ascendant
      d1(k) ← 0
      for j = 1 → FUTUR/2 do
        d1(k) ← d1(k) + WD1 · dd(j) / FUTUR
      end for
    end for
    old_distances_cum ← distances_cum
    old_last_index ← last_index
    old_sample_received ← sample_received
    for k = 1 → Ns do ▷ actualiser les vecteurs d'état
      pre_k ← k - 1
      if k == 0 then
        pre_k ← N
      end if
      dist0 ← old_distances_cum(k) + d0(k) ▷ distance de branche k → k
      dist1 ← old_distances_cum(pre_k) + Gmetric(n) · mea ▷ distance de branche k-1 → k
      if dist1 < dist0 then ▷ échantillon considéré comme étant un glitch
        distances_cum(k) ← dist1
        sample_received(:, k) ← old_sample_received(:, pre_k)
        last_index(k) ← old_last_index(pre_k)
      else ▷ échantillon considéré comme étant valide
        distances_cum(k) ← dist0
        last_index(k) ← last_index(k) + 1
        sample_received(last_index(k), k) ← da
      end if
    end for
  else ▷ les branches k-1 → k n'existent pas
    for k = 1 → Ns do
      distances_cum(k) ← distances_cum(k) + d0(k)
      last_index(k) ← last_index(k) + 1
      sample_received(last_index(k), k) ← data(n)
    end for
  end if
end for
%% ----- DECISION ----- %%
sid = index_of_min(distances_cum) ▷ chemin avec la distance cumulée la plus faible
cweight = distances_cum(sid) ▷ distance cumulée correspondante
for i = 1 → Nc do
  for j = 1 → Nf do
    CorrectedScan(i, j) ← sample_received((j - 1) · Nf + i, sid) ▷ placer le balayage corrigé dans un
  end for
end for
SORTIE CorrectedScan; cweight

```

## REVENDICATIONS

1. Un procédé de détection et/ou de correction automatique d'erreurs dans un flux de données multiplexées, comprenant :
  - 5 l'obtention d'un flux de données multiplexées contenant des échantillons de données, ledit flux de données comprenant une pluralité de canaux de données entrelacés organisés de manière cyclique en trames, chaque canal de données possédant un intervalle attribué à l'intérieur de chaque trame, dans lequel intervalle est situé un échantillon de données appartenant vraisemblablement audit canal, lesdits échantillons de données comprenant des échantillons de données ordinaires et des échantillons de données supplémentaires, lesdits échantillons de données supplémentaires ne pouvant pas être attribués à l'un quelconque des canaux entrelacés et provoquant un décalage d'échantillons de données ordinaires subséquents par rapport aux intervalles, et
  - 10 l'identification desdits échantillons de données supplémentaires par l'exécution d'un algorithme de programmation dynamique, possédant en tant qu'états associés à chaque échantillon de données, des décalages possibles provoqués par des échantillons de données supplémentaires reçus jusqu'à l'échantillon de données associé et dans lequel des transitions autorisées entre états comprennent une première transition, représentant une réception d'un échantillon de données ordinaire et, par conséquent, une constance de décalage, et une deuxième transition, représentant une réception d'un échantillon de données supplémentaire
  - 15 et, par conséquent, un accroissement de décalage d'une unité ; et dans lequel chaque transition autorisée possède un poids qui lui est associé, le poids associé à une première transition d'un premier état vers un deuxième état dépendant d'une différence entre l'échantillon de données associé audit deuxième état et un échantillon de données prédécesseur direct présumé dans le même canal de données que ledit
  - 20
  - 25

- échantillon de données associé audit deuxième état, et le poids associé à une deuxième transition d'un premier état vers un deuxième état dépendant d'une différence entre au moins un échantillon de données subséquent audit échantillon de données associé audit deuxième état et un échantillon de données prédécesseur direct présumé dans le même canal de données que ledit au moins un échantillon de données subséquent.
- 5
2. Le procédé selon la revendication 1, comprenant la production d'un flux corrigé de données multiplexées qui diffère du flux de données multiplexées en ce qu'il ne contient pas lesdits échantillons de données supplémentaires identifiés.
- 10
3. Le procédé selon la revendication 1 ou 2, dans lequel ladite exécution dudit algorithme de programmation dynamique comprend la construction d'une pluralité de chemins au travers desdits états, chacun desdits chemins de ladite pluralité de chemins correspondant à une séquence spécifique de première et deuxième transitions, chacun desdits chemins de ladite pluralité de chemins possédant associé à celui-ci un poids cumulé correspondant à la somme des poids associés aux première et deuxième transitions du chemin, et la recherche d'un chemin de poids minimal parmi ladite pluralité de chemins.
- 15
- 20
4. Le procédé selon la revendication 3 lorsqu'elle dépend de la revendication 2, dans lequel chacun desdits chemins de ladite pluralité de chemins possède associé à celui-ci une séquence d'échantillons de données présumés ordinaires, et dans lequel ledit flux corrigé de données multiplexées correspond à la séquence d'échantillons de données associée au chemin de poids minimal trouvé.
- 25
5. Le procédé selon l'une quelconque des revendications précédentes, dans lequel, avant l'exécution dudit algorithme de programmation dynamique, des trames susceptibles de contenir au moins un échantillon de données supplémentaire sont identifiées.
- 30

6. Le procédé selon la revendication 5, dans lequel les poids associés auxdites première et deuxième transitions d'un premier état vers un deuxième état sont modifiées selon que l'échantillon de données associé audit deuxième état appartient ou non à une trame identifiée comme étant susceptible de contenir au moins un échantillon de données supplémentaire.
- 5
7. Un programme informatique comprenant des instructions pouvant être mises en œuvre par un processeur, qui, lorsqu'elles sont exécutées par un processeur, amènent ledit processeur à exécuter un procédé selon l'une quelconque des revendications 1 à 6.
- 10
8. Un dispositif informatique comprenant un processeur et une mémoire de préférence non volatile contenant en mémoire des instructions pouvant être mises en œuvre par un processeur, qui, lorsqu'elles sont exécutées par ledit processeur, amènent ledit processeur à exécuter un procédé selon l'une quelconque des revendications 1 à 6.
- 15



Fig. 1

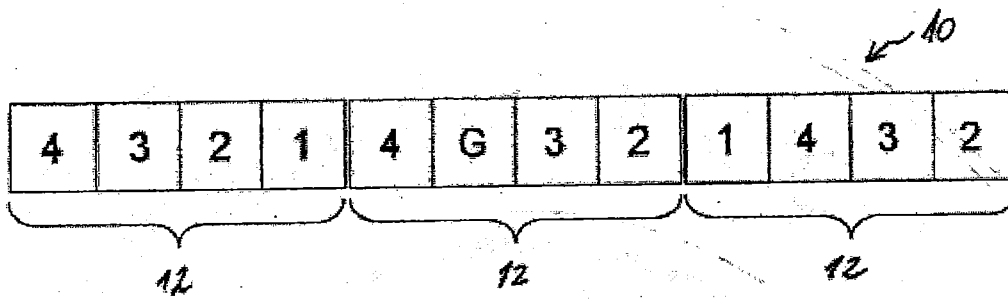


Fig. 2

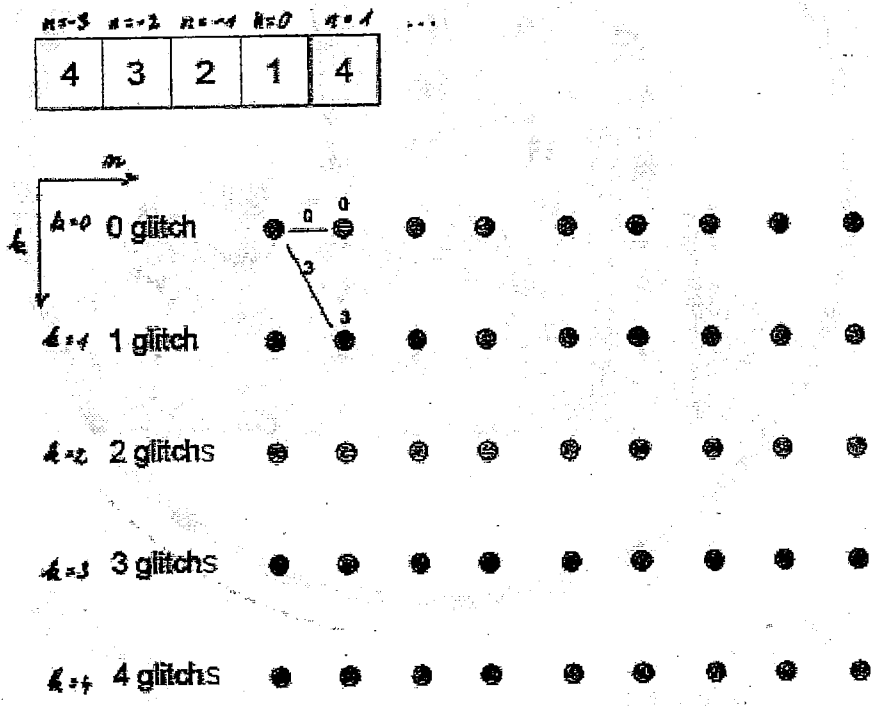


Fig. 3

|        |        |        |       |       |       |
|--------|--------|--------|-------|-------|-------|
| $n=-3$ | $n=-2$ | $n=-1$ | $n=0$ | $n=1$ | $n=2$ |
| 4      | 3      | 2      | 1     | 4     | G     |

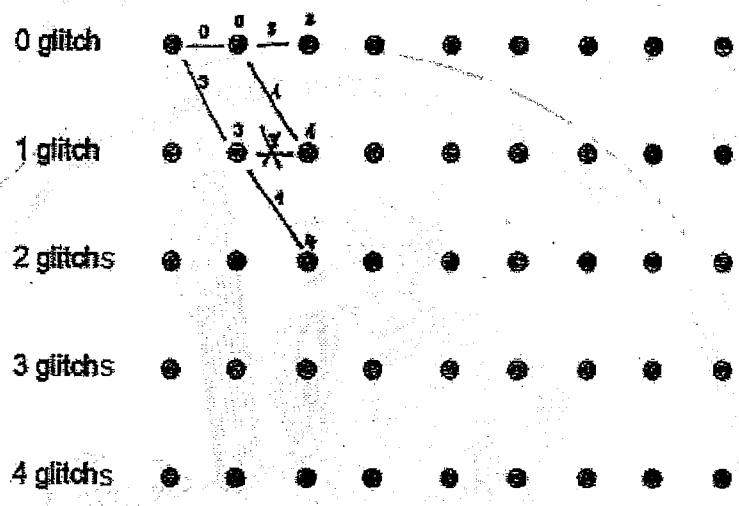


Fig. 4

|        |        |        |       |       |       |       |
|--------|--------|--------|-------|-------|-------|-------|
| $n=-3$ | $n=-2$ | $n=-1$ | $n=0$ | $n=1$ | $n=2$ | $n=3$ |
| 4      | 3      | 2      | 1     | 4     | G     | 3     |

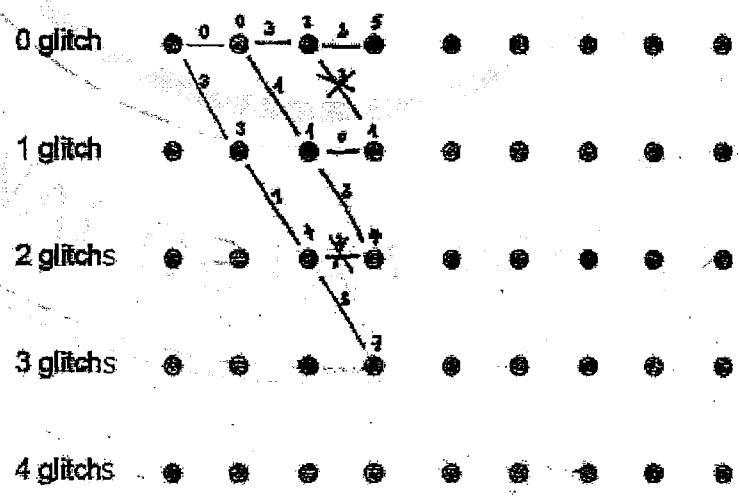
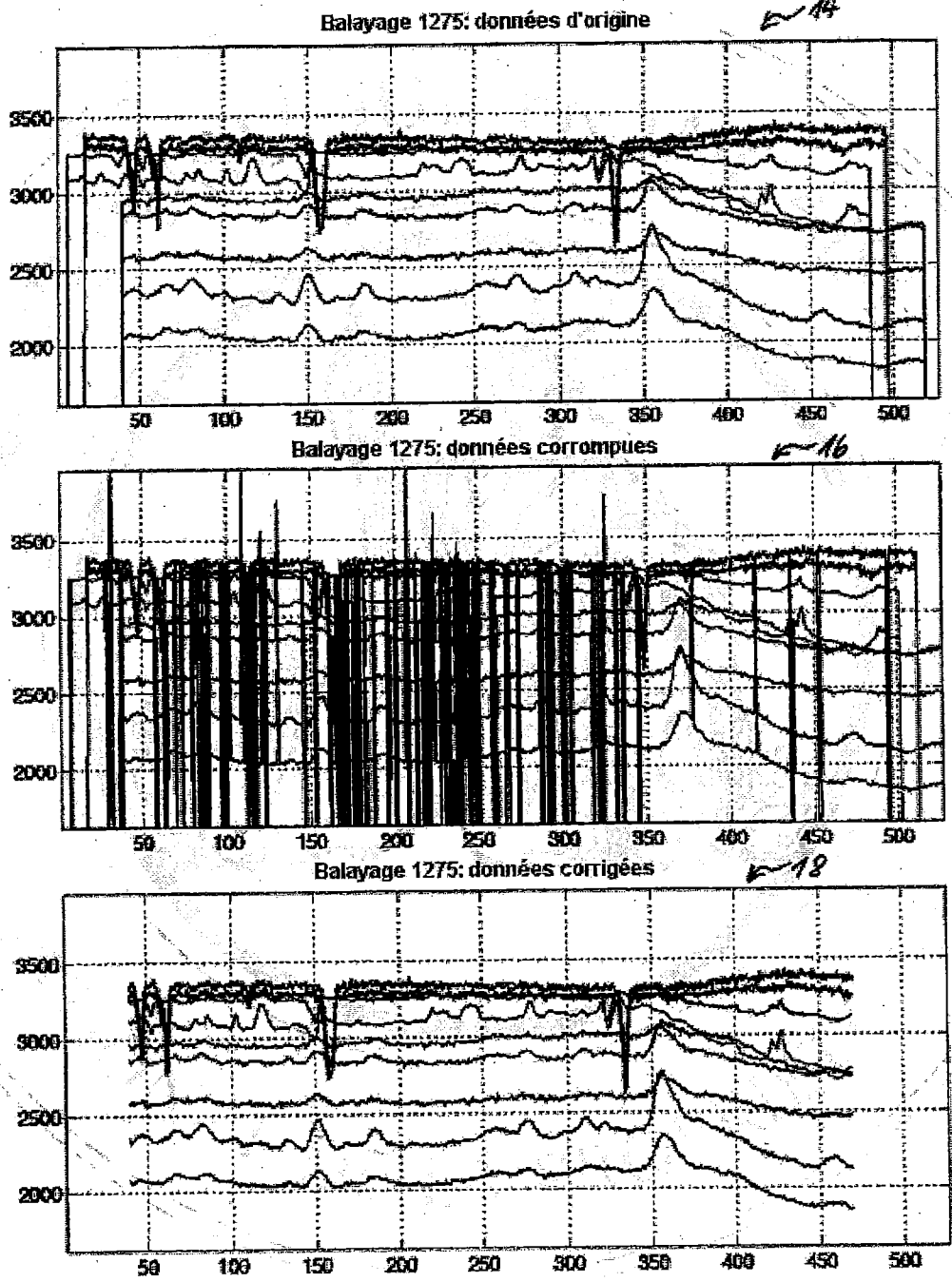


Fig. 5



OB.

L'I.N  
de la  
au s  
intel  
et de

Aprè  
"AVI  
autre

COI

DOC

La ré  
rever

# RAPPORT DE RECHERCHE

articles L.612-14, L.612-17 et R.612-53 à 69 du code de la propriété intellectuelle

## OBJET DU RAPPORT DE RECHERCHE

L'I.N.P.I. annexe à chaque brevet un "RAPPORT DE RECHERCHE" citant les éléments de l'état de la technique qui peuvent être pris en considération pour apprécier la brevetabilité de l'invention, au sens des articles L. 611-11 (nouveau) et L. 611-14 (activité inventive) du code de la propriété intellectuelle. Ce rapport porte sur les revendications du brevet qui définissent l'objet de l'invention et délimitent l'étendue de la protection.

Après délivrance, l'I.N.P.I. peut, à la requête de toute personne intéressée, formuler un "AVIS DOCUMENTAIRE" sur la base des documents cités dans ce rapport de recherche et de tout autre document que le requérant souhaite voir prendre en considération.

## CONDITIONS D'ÉTABLISSEMENT DU PRÉSENT RAPPORT DE RECHERCHE

- Le demandeur a présenté des observations en réponse au rapport de recherche préliminaire.
- Le demandeur a maintenu les revendications.
- Le demandeur a modifié les revendications.
- Le demandeur a modifié la description pour en éliminer les éléments qui n'étaient plus en concordance avec les nouvelles revendications.
- Les tiers ont présenté des observations après publication du rapport de recherche préliminaire.
- Un rapport de recherche préliminaire complémentaire a été établi.

## DOCUMENTS CITÉS DANS LE PRÉSENT RAPPORT DE RECHERCHE

La répartition des documents entre les rubriques 1, 2 et 3 tient compte, le cas échéant, des revendications déposées en dernier lieu et/ou des observations présentées.

- Les documents énumérés à la rubrique 1 ci-après sont susceptibles d'être pris en considération pour apprécier la brevetabilité de l'invention.
- Les documents énumérés à la rubrique 2 ci-après illustrent l'arrière-plan technologique général.
- Les documents énumérés à la rubrique 3 ci-après ont été cités en cours de procédure, mais leur pertinence dépend de la validité des priorités revendiquées.
- Aucun document n'a été cité en cours de procédure.

**1. ELEMENTS DE L'ETAT DE LA TECHNIQUE SUSCEPTIBLES D'ETRE PRIS EN  
CONSIDERATION POUR APPRECIER LA BREVETABILITE DE L'INVENTION**

US 4 641 327 A (WEI LEE-FANG [US])  
3 février 1987 (1987-02-03)

US 6 023 477 A (DENT PAUL W [US])  
8 février 2000 (2000-02-08)

**2. ELEMENTS DE L'ETAT DE LA TECHNIQUE ILLUSTRANT L'ARRIERE-PLAN  
TECHNOLOGIQUE GENERAL**

NEANT

**3. ELEMENTS DE L'ETAT DE LA TECHNIQUE DONT LA PERTINENCE DEPEND  
DE LA VALIDITE DES PRIORITES**

NEANT